

МІНІСТЕРСТВО ОСВІТИ І НАУКИ УКРАЇНИ
ODESЬКИЙ НАЦІОНАЛЬНИЙ УНІВЕРСИТЕТ
імені І. І. МЕЧНИКОВА

MINISTRY OF EDUCATION AND SCIENCE
OF UKRAINE
ODESA I. I. MECHNIKOV NATIONAL
UNIVERSITY

Фізика аеродисперсних систем

Physics of aerodisperse systems

ВИПУСК

57

VOLUME

Науковий збірник

Collection of papers

Засновано в 1969 р.

Founded in 1969

Одеса
ОНУ
2019

УДК 532 + 533.9 + 536 + 537.5 + 622.61

Приведено результати досліджень тепло- і масообміну в дисперсних системах при протіканні фазових і хімічних перетворень, механізмів утворення дисперсної фази, фізики горіння різноманітних речовин, критичні умови зайнання та погасання. Окремо розглядається газодинаміка процесів переносу дисперсної фази. Представлено результати досліджень електрофізики дисперсних систем і нелінійних процесів, які протікають в димовій плазмі.

Видання призначено для науковців, які вивчають процеси в аеродисперсних системах, зокрема аерозолях. Воно має бути корисним для студентів та аспірантів фізичних, фізико-технічних, енергетичних і хімічних факультетів, які спеціалізуються в області теплофізики дисперсних систем і фізики плазми, хімічної фізики та гідродинаміки.

Редакційна колегія:

д. ф.-м. н., професор
д. ф.-м. н., професор
д. ф.-м. н., професор
д. ф.-м. н., професор
Ph.D., професор
д. ф.-м. н., професор
д. ф.-м. н., професор
д. ф.-м. н., професор
д. ф.-м. н., професор
Ph.D., професор
д. ф.-м. н., професор
д. ф.-м. н., професор
д. ф.-м. н., професор
д. ф.-м. н., доцент
к. ф.-м. н., доцент
к. ф.-м. н.

Калінчак В. В. (Україна) *(головний редактор)*
Алтоїз Б. А. (Україна)
Асланов С. К. (Україна)
Ассовський І. Г. (Росія)
Гринштун С. А. (США)
Драган Г. С. (Україна)
Гоцульський В. Я. (Україна)
Контуш С. М. (Україна)
Копит М. Х. (Україна)
Новак Войцех (Польща)
Полетаєв М. І. (Україна)
Шевчук В. Г. (Україна)
Еннан А. А.-А. (Україна)
Орловська С. Г. (Україна) *(відп. секретар)*
Черненко О. С. (Україна) *(техн. секретар)*
Дараков Д. С. (Україна) *(техн. секретар)*
Красотова Л. М. (Україна) *(техн. секретар)*

Друкується згідно з рішенням вченого ради ОНУ.
Протокол № 4 від 17 грудня 2019 р.

Включено до Переліку наукових профільних видань України (катергія Б) згідно з наказом Міністерства освіти і науки України № 1301 від 15 жовтня 2019 року.

Адреса редакційної колегії:

65082, Одеса, вул. Пастера, 27,
Одеський національний університет імені І. І. Мечникова,
кафедра загальної фізики та фізики теплоенергетичних і хімічних процесів,
тел. 048 / 723-12-03, 723-62-27

Адреса в Інтернеті: <http://fas.onu.edu.ua>

E-mail: teplophys@onu.edu.ua, svetor25@gmail.com, chernalex@ukr.net

UDK 532 + 533.9 + 536 + 537.5 + 622.61

The journal publishes results of studies in the field of heat and mass transfer in disperse systems during phase changes and chemical reactions, mechanisms of dispersed phase formation. Combustion of solid, liquid and gaseous fuels is analyzed, critical conditions of ignition and extinction are considered. Gas-dynamic phenomena that determine a transport of dispersed phase are considered. Studies of electrophysics of disperse systems and non-linear processes in dusty plasma are presented. The journal is intended for scientists and engineers in field of disperse systems and, in particular, aerosols. Also it will be useful for students and PhD students of physical, physical-technical, energy and chemical faculties, specializing in thermal and plasma physics of dispersed systems, chemical physics and hydrodynamics.

Editorial Board:

Kalinchak V. V. (Ukraine)	<i>(Editor-in-Chief)</i>
Altoiz B. A. (Ukraine)	
Aslanov S. K. (Ukraine)	
Assovsky I. G. (Russia)	
Dragan G. S. (Ukraine)	
Gotsulskii V. Y. (Ukraine)	
Ennan A. A.-A. (Ukraine)	
Grinshpun S. A. (USA)	
Kontush S. M. (Ukraine)	
Kopyt N. Kh. (Ukraine)	
Nowak Wojciech (Poland)	
Poletaev N. I. (Ukraine)	
Shevchuk V. G. (Ukraine)	
Orlovskaya S. G. (Ukraine)	<i>(Assistant Editor)</i>
Chernenko A. S. (Ukraine)	<i>(technical Secretary)</i>
Darakov D. S. (Ukraine)	<i>(technical Secretary)</i>
Krasotova L. N. (Ukraine)	<i>(technical Secretary)</i>

The journal is published on the decision of the Academic Council of Odesa I. I. Mechnikov National University of 17 December 2019

The journal is included in the list of scientific specialized editions of Ukraine (Category B) according to the Ministry of Education and Science of Ukraine order № 1301, October 15, 2019.

Address of the Editorial Board:

65082, Odesa, Paster str. 27,

Odesa I. I. Mechnikov National University,

Department of general physics and physics of thermoenergetical and chemical processes

Phone 048 / 723-12-03, 723-62-27

Internet address: <http://fas.onu.edu.ua>

E-mail: teplophys@onu.edu.ua, svetor25@gmail.com, chernalex@ukr.net

ЗМІСТ

ТЕПЛОФІЗИКА ДИСПЕРСНИХ СИСТЕМ

<i>Алехин А.Д., Бурмистров А.Н., Рудников Е.Г., Остапчук Ю.Л.</i>	
Микропоплавковий метод висотного определення давлення в критическому флюїді и условие его равновесия в поле гравитации Земли	8
<i>Алехин А.Д., Абдикаримов Б.Ж., Бурмистров А.Н., Рудников Е.Г.</i>	
Расширенные уравнения критической изотермы и гравитационного эффекта	17
<i>Рудников Е.Г., Алехин А.Д., Ковальчук В.И.</i>	
Описание экспериментальных данных воды в окрестности критической точки на основе алгебры флюктуирующих величин	28
<i>Поповский А. Ю, Алтоиз Б. А., Бутенко А. Ф.</i>	
Эпитропные слои олеиновой кислоты. Ориентационная упорядоченность и реологические характеристики.	34
<i>Шут М.І., Рокицький М.О., Рокицька Г.В., Шут А.М., Баштовий В.І., Галушка Н.В.</i>	
Фізико-механічні властивості полімерних нанокомпозитів системи пен-тапласт - вуглецеві нанотрубки	47
<i>Ханчик Е.Ю., Железный В.П., Мотовой И.В., Турбуркат К.Ф.</i>	
Влияние добавок фуллерена C_{60} на плотность о-ксилола	54

ТЕПЛОМАСООБМІН

<i>Дорошенко А.В., Халак В.Ф., Глауберман М.А.</i>	
Розробка й експериментальне дослідження робочих характеристик полімерних сонячних колекторів для енергетичних систем	64

ФІЗИКА ГОРІННЯ

<i>Шевчук В.Г., Полетаев Н. И., Агеев Н. Д., Киро С. А.</i>	
Синергетические аспекты волнового горения пылей	76
<i>Калинчак В. В., Черненко О. С., Федоренко А. В., Софронков О.Н.</i>	
Вплив розміру каталізатора на характеристики гістерезису безполум'яногого горіння газоповітряних сумішей з домішками горючогогазу	84

Шевчук В.Г., Полетаев Н.И., Стариков М.А., Нимич А.В.

Радиационные свойства горящих облаков металлических пылей.

1. Методика экспериментальных исследований

93

ГАЗОДИНАМИКА

*Glushkov A.V., Khetselius O.Yu., Stepanenko S.N., Sofronkov A.N.,
Svinarenko A.A., Buyadzhi V.V.*

New energy, angle momentum and entropy balance approach to modelling
climate and macroturbulent atmospheric dynamics, heat and mass transfer
at macroscale. II. Computational algorithm

104

*Bunyakova Yu.Ya., Khetselius O.Yu., Florko T.A., Glushkov A.V.,
Svinarenko A.A., Dubrovskaya Yu.V.*

A chaos-geometric approach to analysis, modelling and forecasting
atmospheric pollutants dynamics for industrial regions

114

ЕЛЕКТРОФІЗИКА

Дойков Д.Н.

Коллективные эффекты в запыленной плазме с магнитным полем,
облучаемой жесткими излучениями.

121

ФІЗИКА АЕРОЗОЛІВ

Ivanitsky G.K., Tselen B.Ya., Nedbaylo A.E., Konyk A.V.

Modeling the kinetics of cavitation boiling up of liquid.

136

ПЕРСОНАЛІЙ

Контуш С.М. Памяти наших коллег – физиков-аэрозольщиков Романова К.В.

(1936-1995), Неизвестного А.И. (1943-2017) и Липатова Г.Н. (1945-2014)

147

Редколлегия журнала «ФАС». К 90-юбилею Асланова С.К.

152

Іменний покажчик

154

Правила для авторів.....

156

CONTENTS

THERMAL PHYSICS OF DISPERSE SYSTEMS

Alekhin A.D., Burmistrov A.N., Rudnikov Ye.G., Ostapchuk Yu.L.

Micro-floating method of high-altitude determination of pressure in the critical fluid and condition of its equilibrium under the Earth gravity

8

Alekhin A.D., Abdikarimov B.Zh., Burmistrov A.N., Rudnikov Ye.G.

Extended equations of the critical isotherm and the effect of gravity

17

Rudnikov Ye.G., Alekhin A.D., Kovalchuk V.I.

Description of the experimental data of water in the vicinity of the critical point on the basis of algebra of fluctuation variables

28

Popovskii A.Yu., Altoiz B.A., Butenko A.F.

Epitropic layers of oleic acid. Orientational ordering and rheological characteristics

34

Shut M.I., Rokytskyi M.O., Rokytska H.V., Shut A.M., Bashtovyi V.I.,

Halushka N.V.

Physical and mechanical properties of polymer nanocomposites of penton - carbon nanotubes system

47

Khanchych K.Yu., Zhelezny V.P., Motovoy I.V., Tumburkat K.F.

The effect of fullerene C_{60} additives on the density of o-xylene

54

HEAT AND MASS TRANSFER

Doroshenko A.V., Khalak V.Ph., Glauberman M.A.

Experimental study of polymer solar collectors performance characteristics in development of clean and more efficient energy-conversion systems

64

COMBUSTION PHYSICS

Shevchuk V. G., Poletaev N. I., Ageev N. D., Kiro S. A.

Synergetic aspects of wave dust combustion

76

Kalinchak V.V., Chernenko A.S., Fedorenko A.V., Sofronkov A.N.

Effect of catalyst size on flameless combustion's hysteresis characteristics of air-gas mixtures with combustible gas's impurities

84

Shevchuk V.G., Poletaev N.I., Starikov M.A., Nimich A.V.

Combustion metallic dusts radiotational properties. 1. Experimental investigation methodology

93

GAS-DYNAMICS

*Glushkov A.V., Khetselius O.Yu., Stepanenko S.N., Sofronkov A.N.,
Svinarenko A.A., Buyadzhi V.V.*

New energy, angle momentum and entropy balance approach to modelling
climate and macroturbulent atmospheric dynamics, heat and mass transfer
at macroscale. II. Computational algorithm

104

*Bunyakova Yu.Ya., Khetselius O.Yu., Florko T.A., Glushkov A.V.,
Svinarenko A.A., Dubrovskaya Yu.V.*

A chaos-geometric approach to analysis, modelling and forecasting
atmospheric pollutants dynamics for industrial regions

114

ELECTROPHYSICS

Doikov D. N.

Collective effects in a dusty plasma with a magnetic field irradiated by hard
radiation

121

AEROSOLS PHYSICS

Ivanitsky G.K., Tselen B.Ya., Nedbaylo A.E., Konyk A.V.

Modeling the kinetics of cavitation boiling up of liquid

136

PERSONALITIES

*Kontush S.M. In memory of our colleagues - aerosol physicists Romanov K.V.
(1936-1995), Neizvestniy A.I. (1943-2017) and Lipatov G.N. (1945-2014)*

147

Editorial Board To the 90th anniversary Aslanov S.K.

152

Name index

155

Rules for authors

158

Калінчак В. В.¹, Черненко О. С.¹, Федоренко А. В.¹, Софронков О.Н.²

¹Одеський національний університет імені І.І. Мечникова (м. Одеса, Україна)

²Одеський державний екологічний університет (м. Одеса, Україна)

Вплив розміру каталізатора на характеристики гістерезису безполум'яного горіння газоповітряних сумішей з домішками горючого газу

З врахуванням термодифузії побудовано аналітичні моделі гістерезису тепломасообміну і кінетики горіння домішок горючих газів на металевій частинки (дротику) каталізатора при наявності тільки однієї односторонньої реакції в залежності від розміру нитки каталізатора та температури газоповітряної суміші. Представлені залежності температури платинової нитки від температури воднево-повітряної суміші при різних діаметрах нитки. Зменшення діаметру нитки при незмінних інших умовах призводить до зменшення гістерезисної області і подальшому виродженню.

Використаний метод аналітичного визначення гістерезисних областей та точок виродженння, який полягає в представленні шуканих залежностей режимних параметрів в параметричному вигляді (параметр – температура каталізатора). Знайдена аналітична залежність (спінодаль) температури газової суміші від діаметру каталізатора, що описує всі критичні точки, в тому числі і точки виродження. Отримано в явному вигляді значення діаметру та температури нитки каталізатора, температури суміші, що відповідають виродженню критичних умов.

Ключові слова: каталізатор, діаметр, гістерезис, безполум'яне горіння

Вступ. Області застосування гетерогенного каталізу окиснення домішок горючих газів на частинках (дротиках) за останній час настільки розширилися, що його можна вважати основним способом проведення технічних газових реакцій в газоповітряних потоках, які містять малі домішки менш нижнього концентраційного межі запалення. Відповідно до цього зростає питома вага робіт з вишукування активних каталізаторів і дисперсності для прискорення певних хімічних реакцій. Поряд з хімічною індивідуальністю каталітична активність визначається також сукупністю великого числа факторів, що не залежать від складу, але змінюються залежно від способів приготування каталізатора і розміру частинок.

В якості каталізаторів в дисперсному твердому вигляді широке застосування отримала металічна платина і метали платинової групи. Каталітичне горіння потоку газоповітряної суміші з домішкою горючого газу протікає безпосередньо на поверхні твердих каталізаторів без відкритого полум'я в газовій суміші (безполум'яне горіння). На вимірюванні температури частинки(нитки), до якої вона розігрівається в режимі безполум'яного горіння, основана робота термокatalітичного газоаналізатора домішки горючого газу в суміші.

Експериментально показано [1], що стійке каталітичне горіння газоповітряної суміші з домішкою водню чи аміаку на тонкому платиновому дротику здійснюється при збільшенні сили нагріваючого електричного струму до деяко-

го критичного значення і подальшому самоприскорюочому розігріву каталізатора (кatalітичне самозаймання). Аналогічний ефект можна досягти при підвищенні температури газоповітряної суміші до критичного значення. В залежності від концентрації домішки горючого газу подальше зменшення сили струму чи температури газової суміші може привести до кatalітичного погасання чи (при більших концентраціях горючого газу) самопідтримуючого кatalітичного горіння [2].

При більш низьких температурах газоповітряної суміші поверхневе (безполум'яне) горіння газоповітряних сумішей з домішками горючого газу можливе при перевищенні початкової температури нитки каталізатора вище певного критичного значення – температури каталітичного запалювання [2]. Критичне значення початкової температури каталізатора лежить в межах між температурами каталітичного самозаймання і погасання даної газоповітряної суміші на даному каталізаторі. Область зміни режимних параметрів, коли можливе каталітичне запалювання, визначає гістерезисну область.

Ефективність роботи каталізатора визначається насамперед не тільки розміром частинок платинових металів, що нанесені на носій з розвиненою поверхнею, але і розміром самого носія [3].

Широкий клас гетерогенно-кatalітичних реакцій дає можливість в якості прикладу вибрати реакцію безполум'яного горіння газоповітряних сумішей з домішками горючого водню по брутто-реакції $H_2 + 0.5O_2 \xrightarrow{Pt} H_2O$ на платиновій нитці. Особливістю цієї реакції є наявність термодифузії, що дає змогу узагальнити результати дослідження.

Метою даної роботи є з врахуванням термодифузії побудувати аналітичні моделі гістерезису тепломасообміну і кінетики горіння домішок горючих газів на металевій частинці (дротику) каталізатора при наявності тільки односторонньої реакції в залежності від розміру каталізатора.

Постановка задачі та результати досліджень. Диференційне рівняння нитки каталізатора з врахуванням термодифузії горючого газу має вигляд [4]:

$$Le^{1-m} \frac{c_c}{c_{pg}} \rho_c \frac{V_c}{S_c} \frac{\partial T}{\partial \tau} = T_Q k \rho_{gs} Y_f \left(1 + C_T \frac{T - T_g}{T} \right) \frac{1}{1 + Se} - \frac{Sh \cdot D_f}{d} \rho_g (T - T_g), \quad (1)$$

$$k = k_0 \exp \left(-\frac{E}{RT} \right), \quad Se = \frac{k \rho_{gs}}{D_f Sh \rho_g} d, \quad C_T = (2 - n) Le^m, \quad T_Q = \frac{Q_f Le^{1-m}}{c_{pg}}, \quad T(\tau = 0) = T_b,$$

де T – температура нитки (частинки) каталізатора, К; τ – час, с; V_c / S_c – відношення об'єму каталізатора до площині поверхні, м; c_c – питома теплоємність каталізатора, Дж/кг·К; ρ_c – густина каталізатора, k – константа хімічної реакції, м/с; Y_f – масова частка горючого газу; D_f – коефіцієнт дифузії горючого газу в суміші, m^2/c ; d – діаметр нитки каталізатора, Se – дифузійно-кінетичне відношення; Sh – число Шервуда; ρ_{gs} , ρ_g – густина суміші біля поверхні та в межах приведеної плівки, kg/m^3 ; C_T – поправка на термодифузію, Le – число Льюїса; n – показник степеня в температурній залежності коефіцієнта дифузії ($n = 1.82$);

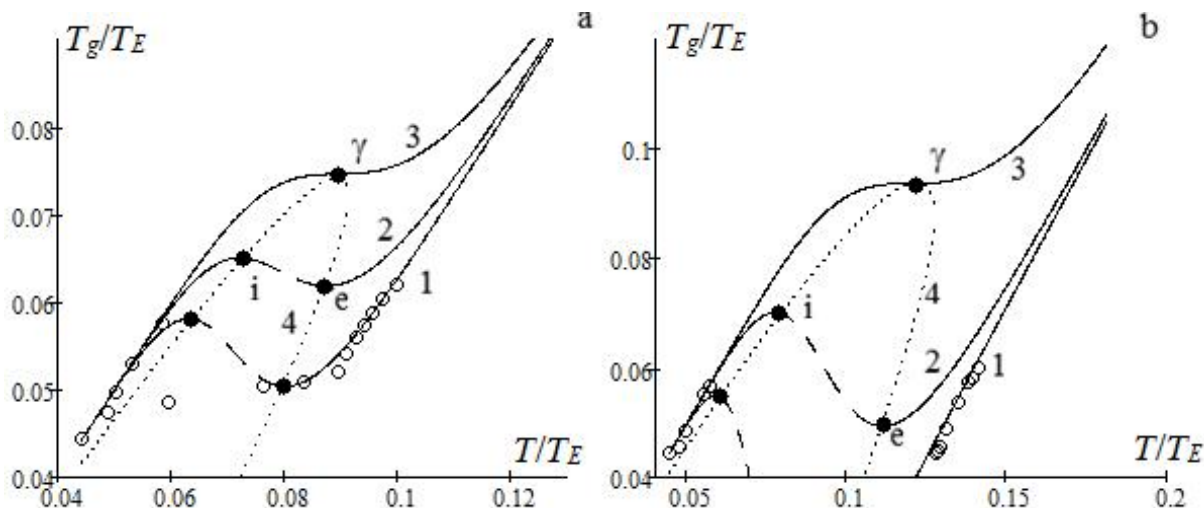


Рис. 1. Залежність стаціонарної температури платинової нити від температури воднево-повітряної суміші (3) при масовій частці водню а) 0.09 % та б) 0.19 %. Діаметр нитки: а) 1) 100 мкм, 2) 25 мкм, 3) 6.5 мкм (γ). б) 1) 100 мкм, 2) 5 мкм, 3) 0.48 мкм(γ). $Sh = 0.51$. ○ – експеримент. Крива 4 – спінодаль (4). $T_E = 6620$ К.

m – показник степеня залежності числа Шервуда від числа Шмідта ($n = 0.33$); Q_f – тепловий ефект реакції, розрахований на 1 кг горючого газу, Дж/кг; c_{pg} – питома теплоємність суміші, Дж/(кг·К); E – енергія активації, Дж/моль; R – універсальна газова стала, Дж/(моль·К); T – температура катализатора, К; T_g – температура суміші, К

Розрахунки для випадку каталітичного горіння водню проводилися при наступних значеннях параметрів: платинова нитка діаметром 100 мкм, $E = 55$ кДж/моль, $k_0 = 0.8 \cdot 10^6$ м/с, $Q_a = 120.9$ МДж/кгН₂, $D_0 = 0.6 \cdot 10^{-4}$ м²/с, $m = 0.33$, $n = 1.82$, $Sh = 0.51$ ($U = 0.15$ м/с), $T_0 = 293$ К, $\rho_{g0} = 1.293$ кг/м³, $c_{g0}=1005$ Дж/(кг·К), $c_c = 131$ Дж/(кг·К), $\rho_c = 21460$ кг/м³.

Для аналізу характеристик області гістерезису безполум'яногого горіння газоповітряних сумішей з домішками горючого газу розглянемо рівняння теплового балансу для катализатора з врахуванням термодифузії горючого газу [4]:

$$T_Q k \rho_{gs} Y_f \left(1 + C_T \frac{T - T_g}{T} \right) \frac{1}{1 + Se} = \frac{Sh \cdot D_f}{d} \rho_g (T - T_g). \quad (2)$$

З умови (2) неважко знайти стаціонарну залежність температури суміші $T_g(T)$, яка має вигляд:

$$T_g = T - T_Q Y_f \left[\frac{D_f \rho_g Sh \exp(E / RT)}{dk_0 \rho_{gs}} + \left(1 - C_T \frac{T_Q Y_f}{T} \right) \right]^{-1}. \quad (3)$$

Формула (3) описує вплив критичної початкової температури частинки катализатору (рис. 1а) на температуру запалювання газової суміші (великий пунктір рис. 1а), критичні температури займання і погасання ($T_{gi,e}$, T_{ie}) та T_g , яка характеризує її вплив на температуру безполум'яногого горіння (суцільна крива).

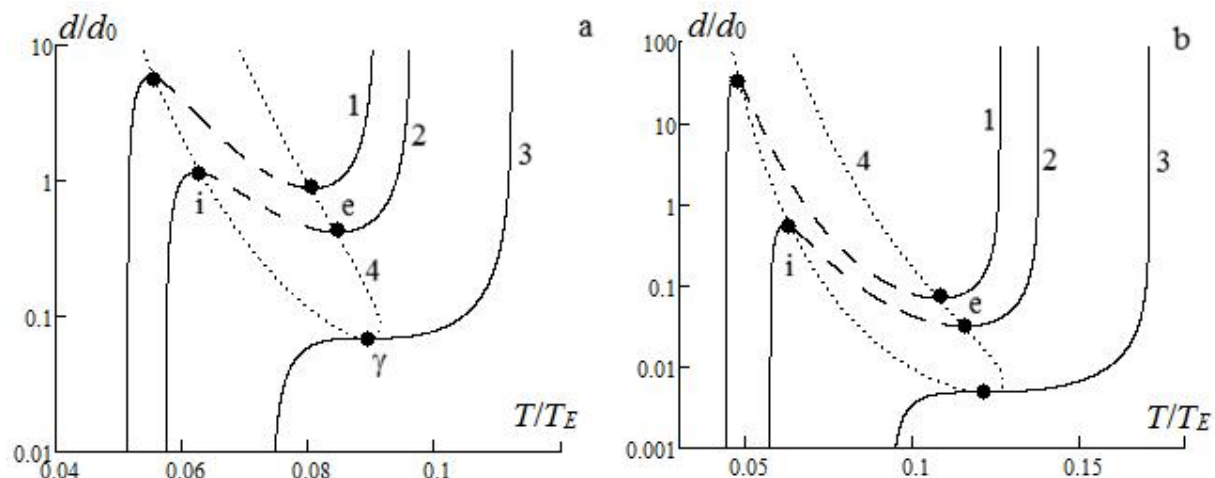


Рис. 2. Залежність діаметру платинової нитки катализатора від її стаціонарної температури в воднево-повітряній суміші (4) при масовій частці водню а) 0.09 % та б) 0.19 %. Температура суміші а) 1) 340 К, 2) 380 К, 3) 490 К. б) 1) 294 К, 2) 380 К, 3) 620 К. Крива 4 – спінодаль (6). $d_0 = 100$ мкм

На рис. 1 представлена залежність температури воднево-повітряної суміші від температури платинової нитки, які розраховані по (3) при різних діаметрах нитки і різних концентраціях водню (масова частка водню 0.09 % та 0.18%).

З (3) і рис.1 бачимо, що при великих значеннях d і температурах, коли $Se \gg 1$ чи $\frac{D_f Sh \rho_g}{\rho_{gs}} d \ll k$ (дифузійна область), стаціонарна температура катализатора в режимі безполум'яного горіння суміші не залежить від його діаметру:

$$T_g = T - T_Q Y_f \frac{1}{1 - C_T \frac{T_Q Y_f}{T}}.$$

При малих значеннях d і невисоких температурах (рис.1), коли $Se \ll 1$ (кінетична область) з залежності (3) маємо, що стаціонарна температура катализатора в режимі, коли реакція практично не йде, теж не залежить від його діаметра:

$$T_g = T - T_Q Y_f d \frac{\rho_{gs} k_0}{D_f \rho_g Sh} \exp\left(-\frac{E}{RT}\right) \approx T.$$

Отже маємо два температурні режими катализатора, які не залежать від його розміру і визначаються лише температурою газової суміші і концентрацією домішки горючого газу.

Тут точки **i** відповідають каталітичному займанню, точки **e** – каталітичному погасанню, точка γ – виродженню критичних умов. Зміна параметрів (в даному випадку температури суміші) між точками **i** та **e** відповідає гістерезисній області безполум'яного окислення малих домішок горючих газів. З рис.1 видно, що зменшення діаметру нитки при незмінних інших умовах призводить до зменшення гістерезисної області і подальшому виродженню.

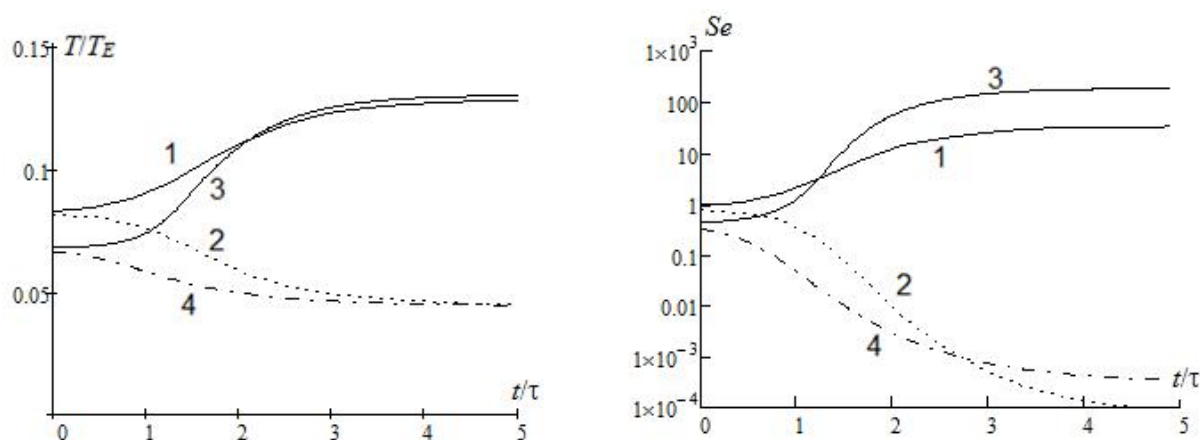


Рис. 3. Ілюстрація часового гістерезису безполум'яного горіння холодної газоповітряної суміші з домішкою водню $Y_f = 0.18\%$ на платинової нитки у вигляді часової залежності: а) температури нитки, б) дифузійно-кінетичного відношення. Діаметр нитки та характерний час $1, 2 - d = 20 \text{ мкм}, \tau = 12 \text{ мс}, 3, 4 - d = 100 \text{ мкм}, \tau = 297 \text{ мс}$. Початкова температура T_b : 1) 550 К, 2) 540 К, 3) 460 К, 4) 440 К.

Стійкі і критичні стаціонарні значення діаметру катализатора $d(T)$ також визначаються з (2):

$$d = \frac{D_f Sh \rho_g}{k_0 \rho_{gs}} \left(\frac{T_g Y_f}{T - T_g} + C_r \frac{T_g Y_f}{T} - 1 \right)^{-1} \exp\left(\frac{E}{RT}\right). \quad (3)$$

На рис. 2 представлена залежність діаметру нитки катализатора, які визначають її стаціонарну температуру. Вони розраховані по (4) при різних температурах газоповітряного потоку та частки домішки водню. Як видно, що для діаметрів нитки більше 100 мкм температура нитки при каталітичному горінні не залежить від діаметру. При низьких температурах газової суміші ($T_g < T_{gy}$) існує гістерезисна область, яка обмежується інтервалами діаметрів катализатора $d_e < d < d_i$ та критичної початкової температури $T_i < T_b < T_e$. Чим менша температура суміші, тим ширший гістерезисна область. Однак границі інтервалу по діаметру (d_i та d_e) при цьому збільшуються (рис. 2).

Для пояснення процесу каталітичного запалювання холодної газоповітряної суміші розглянемо часові залежності температури катализатора при різних його початкових температурах (рис. 3). В якості характерного часу взято характерний час $\tau = \frac{c_c \rho_c d}{4\beta c_g \rho_g L e^{-1+m}}$, звідки $\tau \sim d^2$.

Якісна зміна часової залежності температури при попередньому перегріванні нитки катализатора до різної початкової температури говорить про те, що температура запалювання лежить між вказаними двома значеннями початкової температури. Вона відповідає нестійкому стаціонарному значенню температури, яке відповідає (3). Видно, що при зменшенні діаметру критичне значення температури запалювання збільшується. Час запалювання для малих діаметрів катализаторів в представлених координатах складає біля 4τ . Якщо каталітичне запалювання не відбулося, то нитка охолоджується практично інертно (дифузійно-кінетичне відношення швидко падає до вкрай малих значень). Катализи-

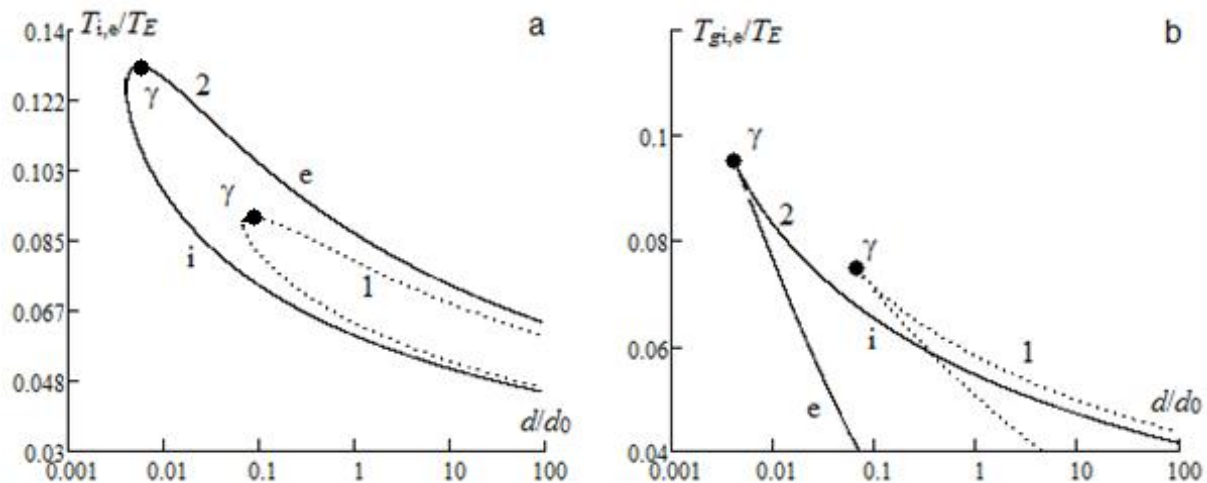


Рис. 4. Залежність критичних значень температури нитки каталізатора і газової суміші від діаметру платинової нитки каталізатора (спінодалі) при масовій частці водню 1) 0.09 % та 2) 0.18 %. Розрахунок по (5) та (6). $d_0 = 100$ мкм, $Sh = 0.51$.

не горіння малих домішок на нитці каталізатора можна вважати таким, що протікає в дифузійній області. Однак, ці зменшенням діаметру нитки каталізатора це є наближенням (дифузійне кінетичне відношення наближається до 10).

Зменшення температури горіння зі зменшенням діаметру нитки каталізатора узгоджується зі стаціонарною залежністю $d(T)$ на рис. 2b.

Для аналітичного визначення гістерезисних областей та точок виродження використаємо метод [5], який полягає в представленні шуканих залежностей режимних параметрів в параметричному вигляді. В якості параметру зазвичай береться температура нитки каталізатора. Одна з параметричних залежностей, зазвичай є умова стаціонарності температури у вигляді (3) чи (4). Іншу параметричну залежність отримуємо з рівності нулю першої похідної по температурі, застосувавши її для (3) чи (4). Саме ця умова визначає критичні умови каталітичного горіння домішки газів (займання і погасання)[5]. Умові виродження критичних умов (точка γ) додатково відповідає рівності нулю другої похідної.

Таким чином, можна знайти аналітичну залежність - спінодаль $T_{gi,e}(T)$:

$$T_{gi,e} = T - \Theta_{i,e}, \quad (5)$$

та спінодаль $d_{i,e}(T)$:

$$d_{i,e} = \frac{D_f Sh \rho_g}{k_0 \rho_{gs}} \left(\frac{T_Q Y_f}{\Theta_{i,e}} \left(1 + \frac{C_T \Theta_{i,e}}{T} \right) - 1 \right)^{-1} \exp \left(\frac{E}{RT} \right), \quad (6)$$

де

$$\Theta_{i,e} = \frac{T_Q Y_f}{2} \frac{1}{1 - C_T T_Q Y_f / T} \cdot \left(1 \pm \sqrt{1 - \frac{4T^2}{T_E T_Q Y_f} \left(1 - C_T T_Q Y_f / T \right)} \right),$$

що описує всі критичні точки (рис. 1, 2, крива 4), в тому числі і точки виродження (γ).

Таблиця 1. Параметри виродження гістерезису тепломасообміну (без / з врахуванням термодифузії)

$Y_f, \%$	$T_{\gamma 0}/T_\gamma, \text{К/К}$	$T_{g\gamma 0}/T_{g\gamma}, \text{К/К}$	$d_{\gamma 0}/d_\gamma, \text{мкм/мкм}$	$Se_{\gamma 0}/Se_\gamma$
0.09	608/592	514/491	5.0/6.8	0.69/0.86
0.19	870/824	685/631	0.3/0.4	0.58/0.80

На рис. 4 зображені для різних концентрацій водню спінодалі у вигляді критичних значень температури нитки каталізатора і газової суміші від діаметру платинової нитки каталізатора.

Видно, що отримані залежності (спінодалі) визначаються лише одним режимним параметром – концентрацією домішки горючого газу Y_f . Збільшення інтервалу діаметрів нитки каталізатора, для яких спостерігається гістерезис, зі збільшенням концентрації водню, чітко простежується на рис. 3а. Саме поблизу точки виродження ці розбіжності найбільші.

Як показано в [4], вплив термодифузії водню суттєвий тільки при каталітичному горінні газів і при погасанні. На критичні умови запалювання і самоспалахування цей вплив малий тільки вдалини від виродження критичних умов. В табл. 1 представлена значення параметрів виродження для двох газових сумішей з домішками водню 0.9 та 1.9%. Видно, що насправді термодифузія істотно впливає на параметри виродження тим більше, чим більша концентрація горючого газу (відповідно, більша температура каталізатора).

Для оцінки параметрів виродження необхідно використати одну з додаткових умов $\frac{\partial T_{gi,e}}{\partial T} = 0$ чи $\frac{\partial d_{gi,e}}{\partial T} = 0$. Без врахування термодифузії ($C_T = 0$) в рамках запропоновано методу доволі легко отримати в явному вигляді значення діаметр $d_{\gamma 0}$ і температури нитки (частинки) $T_{\gamma 0}$ каталізатора та температури суміші, що відповідають виродженню критичних умов тепломасообміну:

$$T_{\gamma 0} = \frac{T_E}{2} \sqrt{\left(\frac{T_Q Y_f / T_E}{1 + T_Q Y_f / T_E} \right)}, \quad T_E = \frac{E}{R}, \quad T_{g\gamma 0} = \frac{T_E}{2} \left(\sqrt{\left(1 + \frac{T_E}{T_Q Y_f} \right)} + 1 \right)^{-1}$$

$$d_{\gamma 0} = \frac{D_f \rho_g(T_{\gamma 0}) Sh}{k_0 \rho_{gs}(T_{\gamma 0})} \cdot \frac{1 - \sqrt{T_Q Y_f / T_E}}{1 + \sqrt{T_Q Y_f / T_E}} \exp \left(2 \sqrt{\frac{T_E}{T_Q Y_f}} + 1 \right).$$

Ці параметри визначаються концентрацією домішки газу та двома характерними температурами T_Q та T_E . Для оцінки цих параметрів отримані формули можна застосовувати.

Висновки.

Таким чином проілюстровано вплив діаметру каталізатора на область гістерезису тепло масообміну і кінетики гетерогенного безполум'яного горіння малих домішок горючого газу. На основі запропонованого методу з врахуванням термодифузії горючого газу отримані в аналітичному вигляді рівняння спінодалей, що обмежують гістерезисні області, а також параметри виродження

критичних умов. Отримані значення, що визначаються концентрацією домішки горючого газу та параметрами гетерогенної реакції, є визначальними для пла-нування роботи термохімічних сенсорів малих домішок газів.

Література:

1. Франк-Каменецкий Д.А. Диффузия и теплопередача в химической кинетике. – М., Наука, 1987 – 502 с.
2. Kalinchak, V. V.; Chernenko, A. S.; Sofronkov A.N., Fedorenko A.V. Ignition and Self-Supporting Burning of Gas-Air Mixtures with Hydrogen Admixtures on Platinum Wire // Physics and chemistry of solid state. – 2017. – Т.18, Vol:4. – P. 449-454.
3. Шутилов А.А., Зенковец Г.А., Цыбуля С.В., Гаврилов В.Ю., Крюкова Г.Н. // Кинетика и катализ. – 2012. – Т.53. № 3. – С. 424-434.
4. Калінчак В. В., Черненко О. С., Софронков О. Н., Федоренко А. В. Вплив термодифузії на границі гістерезису каталітичного горіння домішок водню на платиновому дротику // Фізика і хімія твердого тіла. – 2017. – Т. 18, № 1. – С. 52-57.
5. Kalinchak V. V., Chernenko A. S. and Kalugin V. V. Influence of catalyst particle size on the critical conditions of catalytic oxidation of gases // Journal of Engineering Physics and Thermophysics. – 2014. – Vol. 87, №. 2. –P. 325-332.

Калинчак В. В., Черненко А. С., Федоренко А. В., Софронков А.Н.

Влияние размера катализатора на характеристики гистерезиса беспламенного горения газовоздушных смесей с примесями горючего газу

АННОТАЦИЯ

С учетом термодиффузии построены аналитические модели гистерезиса тепломассообмена и кинетики горения примесей горючих газов на металлической частице (проволоке) катализатора при наличии только одной односторонней реакции в зависимости от размера катализатора и температуры газовоздушной смеси. Представлены зависимости температуры платиновой нити от температуры водородно-воздушной смеси при различных диаметрах нити. Уменьшение диаметра нити при неизменных других условиях приводит к уменьшению гистерезисной области и дальнейшему ее вырождению.

Использованный метод аналитического определения гистерезических областей и точек вырождения, который заключается в представлении искомых зависимостей режимных параметров в параметрическом виде (параметр – температура катализатора). Найдена аналитическая зависимость (спинодаль) температуры газовой смеси от диаметра катализатора, описывающая все критические точки, в том числе и точки вырождения. Получено в явном виде значение диаметра и температуры нити катализатора, температуры смеси, соответствующие вырождению критических условий.

Ключевые слова: катализатор, диаметр, гистерезис, беспламенное горение

Kalinchak V.V., Chernenko A.S., Fedorenko A.V., Sofronkov A.N.

**Effect of catalyst size on flameless combustion's hysteresis characteristics
of air-gas mixtures with combustible gas's impurities**

SUMMARY

Analytical models of heat and mass transfer's hysteresis and combustion kinetics of combustible gas impurities on a metal catalyst particle (wire) in the presence of only one one-sided reaction are proposed. The analysis is carried out taking into account thermal diffusion and depending on the catalyst's size and the gas-air mixture's temperature.

The dependences of platinum wire's temperature on hydrogen-air mixture's temperature at various wire diameters are presented. Decrease in the wire's diameter under unchanged other conditions leads to a decrease in the hysteresis region and its further degradation.

The method used for analytical determination of hysteretic regions and degradation points, which lies in representing the desired dependences of operating parameters in a parametric form (parameter is catalyst's temperature). Analytical dependence (spinodal) gas-air mixture's temperature on catalyst's diameter was found that describes all critical points, including degradation points. The value of the diameter's and temperature's wire catalyst, the mixture's temperature, which correspond to critical condition's degradation, were obtained in explicit form.

Keywords: catalyst, diameter, hysteresis, flameless combustion

Наукове видання

**ФІЗИКА
АЕРОДИСПЕРСНИХ
СИСТЕМ**

Випуск 57

Науковий збірник

Російською, українською та англійською мовами

Головний редактор В.В. Калінчак

Підписано до друку 21.01.2020. Формат 60x84/16.

Умов.-друк. арк. 11.39. Тираж 100 прим.

Зам. № 1939.

Надруковано з готового оригінал-макету

Видавець і виготовлювач
Одеський національний університет
імені І.І. Мечникова

Свідоцтво суб'єкта видавничої справи ДК № 4215 від 22.11.2011 р.

Україна, 65082, м. Одеса, вул. Єлісаветинська, 12
Тел.: (048) 723 28 39. E-mail: druk@onu.edu.ua